

2.9. A földi atmoszféra hatása

Az antenna által létrehozott teljesítménysűrűség két különböző fizikai hatás következtében csökken a hullám atmoszférában történő terjedése közben:

az antenna által a térbe kisugárzott hullám divergál

a terjedést biztosító közeg elnyeli vagy szétszórja a hullámokat, melynek eredete

-az atmoszférikus gázok molekuláris abszorpciója;

-az atmoszférában lévő folyadék vagy szilárd részecskék általa okozott abszorpció vagy szóródás (esőcseppek, hó, jég részecskék).

Ezek a hatások néhány GHz feletti frekvencián kezdenek jelentkezni és hatásuk nagyon gyorsan növekszik a növekvő frekvenciával. Az előzőeken túl az atmoszférában lebegő részecskék az atmoszférán keresztülhaladó hullám polarizációjának megváltozását is okozhatják.

2.9.1. A légköri abszorpció

Mivel a nitrogénnek nincsen elnyelési sávja a rádiófrekvenciás tartományban, ezért a molekuláris abszorpciót főképpen az oxigén és vízgőz molekulák elnyelő hatása okozza.

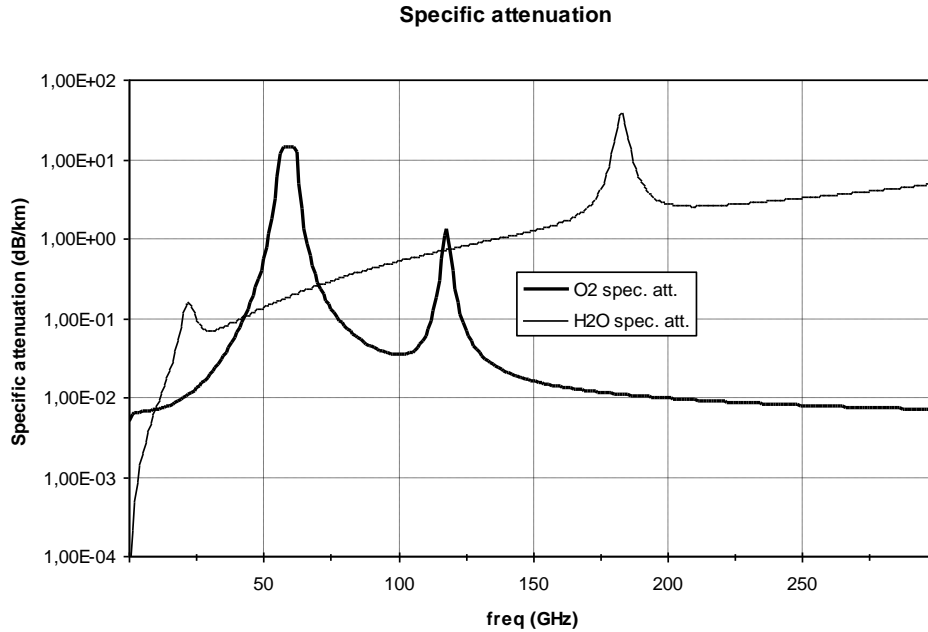
A 350 GHz alatti frekvenciákon az *oxigénnek* egy izolált elnyelési frekvenciavonala van 118,74 GHz-en és nagyon sok egymáshoz közeli elnyelési vonala 50 és 70 GHz között.

Az atmoszféra alsó részében ezek a vonalak folytonos sávva szélesednek.

A 350 GHz alatti frekvenciatartományon a *vízgőznek* három elnyelési vonala van, 22,3 GHz, 183,3 GHz és 323,8 GHz-en. Magasabb frekvencián, a szubmilliméteres és infravörös sávban további intenzív elnyelési vonal jelentkezik.

A vízgőz alacsony koncentrációja mellett a vízgőz csillapítása a koncentrációjával arányosnak tekinthető.

A 2.18. ábrán a fajlagos csillapítást mutatjuk be. A vízgőz koncentráció egyenlő 7.5 g/m^3 -rel, mely megfelel 1% vízgőz molekula és 99% száraz levegő molekula keverékének. Ezen érték egy átlagos, talajszint magasságában, 50% relatív páratartalmat jelent 16.5°C levegő hőmérséklet mellett, vagy 75% relatív páratartalmat 10°C levegő hőmérséklet mellett.



2.18. ábra Az atmoszférikus gázok által okozott csillapítás

2.9.2. A csapadék csillapítása

Általában az *eső által okozott csillapítás* az elsődlegesen vizsgált jelenség. A gyakorlatban rendszerint az esőintenzitás R (csapadék milliméterben óránként) mérhető egyszerűen. A csendes szemerkélő eső megfelel $R=0.25$ mm/óra intenzitásnak, könnyű zápor megfelel 1 mm/óra, közepes eső 4 mm/óra, erős zápor 16 mm/óra, és felhőszakadás több cm/óra esőintenzitásnak. A cseppméret eloszlás az esőintenzitás függvénye, nagyobb esőcseppekkel a nagyobb esőintenzitásokkor. Marshal és Palmer a következő empirikus formulát állapította meg:

$$N(a) = N_0 e^{-\Lambda a} \quad (2.63)$$

ahol $N_0 = 1.6 \times 10^4 \text{ mm}^{-1}/\text{m}^3$ és $\Lambda = 8.2R^{-0.21} \text{ mm}^{-1}$, a a cseppek sugara mm-ben.

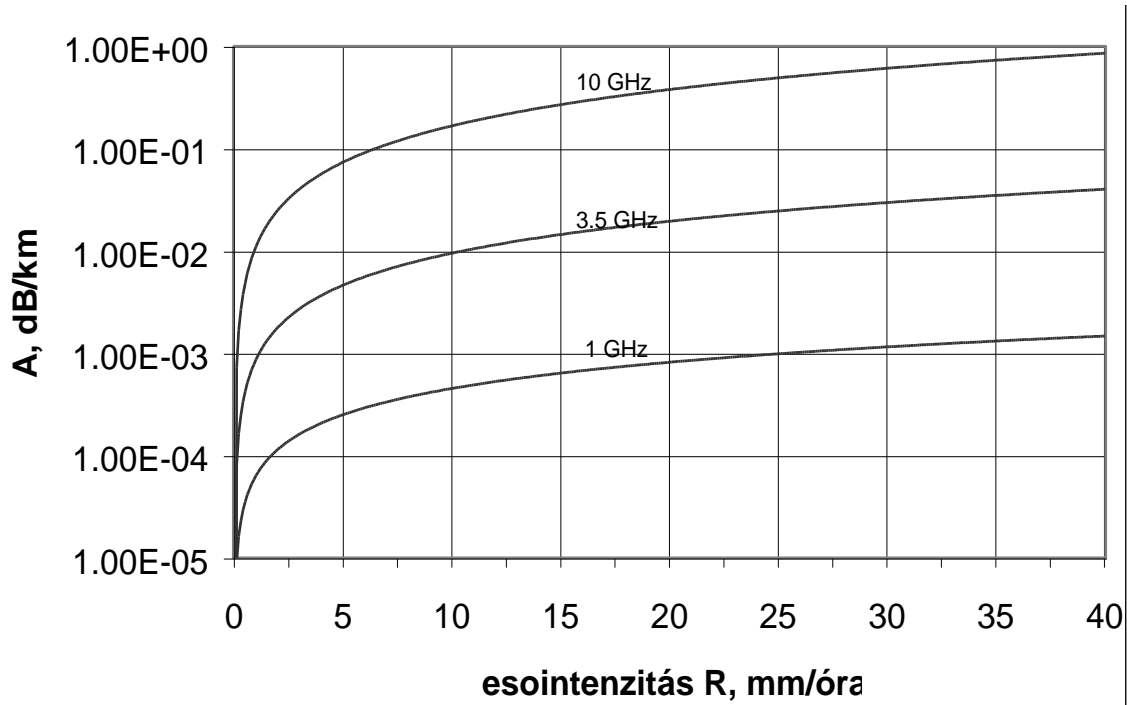
Ezt a modellt használják a legtöbb elméleti esőcsillapítás számításnál. A kifejezés jó egyezést mutat a Laws és Parsons által mért eloszlásokkal.

A rádióösszeköttetések méretezéséhez egyszerű csillapításképletek a kedveltek, melyek az esőintenzitás, frekvencia és hőmérséklet függvényében megadják a fajlagos csillapítást. Ilyen a mérésekkel jól egyező kifejezés a következő:

$$A = cR^b \quad [dB/km] \quad (2.64)$$

ahol c és b frekvenciától és az eső hőmérsékletétől függő konstansok. A hőmérséklettől való csillapításfüggés a víz dielektromos állandójának hőmérsékletfüggésével magyarázható.

Az (2.64) kifejezés felhasználásával az 2.19. ábrán néhány fajlagos csillapítás eredményt mutatunk be 1, 3.5 és 10 GHz-re az esőintenzitás függvényében.



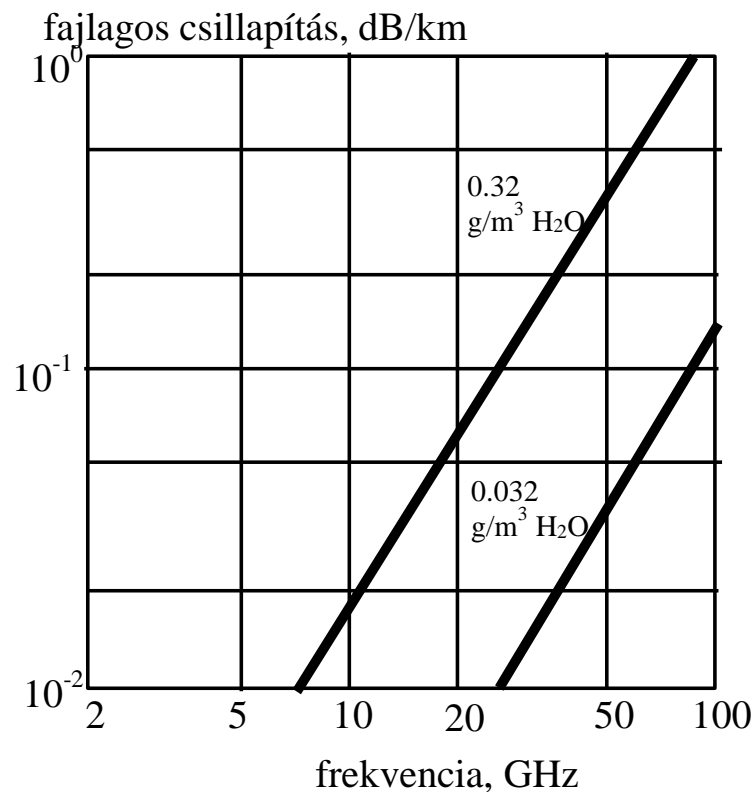
2.19. ábra Fajlagos esőcsillapítás 1, 3.5 és 10 GHz-en az esőintenzitás függvényében

Az eső további hatása a kettős polarizációval működő rádiórendszereknél jelentkezik, ez a *rádióhullámok depolarizációja*. A jelenség lényegében a névleges polarizációból az ortogonális polarizációba történő energia transzformáció.

A radarelmélet szerint az esőcseppek bisztatikus szórást is okoznak. Ez a hatás a térosztásos multiplex rendszereknél jelentkezik, ahol szomszédos csatornás interferenciát okozhat, ha az egyik nyalábból szórt jel a másik szektorban elhelyezkedő vevőantennára jut.

Mikrohullámú és milliméter hullámú sávban a *köd által okozott csillapítás* hasonló törvényszerűségekkel és egyenletekkel írható le, mint az eső által okozott csillapítás. A lényeges különbség az, hogy a köd jóval kisebb részecskékből tevődik össze, ezen részecskék mérettartománya 0.01 to 0.05 mm sugarat jelent. 300 GHz alatti frekvenciákon a köd által okozott csillapítás a vízgőztartalom függvényében lényegében lineárisnak tekinthető egy adott frekvencián. A vízgőz tartalom felső határa 1 g/m^3 körülire tehető, a legtöbb természetben előforduló köd vízgőztartalma ennél lényegesen kisebb. 0.032 g/m^3 vízgőztartalom megfelel a 600 m látótávolsággal jellemezhető ködnek, 0.32 g/m^3 vízgőztartalom pedig körülbelül 120 m látótávolságúnak.

A köd által okozott fajlagos csillapítást a frekvencia függvényében a 2.20. ábrán mutatjuk be az előző két vízgőztartalomra.



2.20. ábra A köd csillapítása a frekvencia függvényében két koncentrációra

300 GHz frekvencián a nagy sűrűségű köd csillapítása is legfeljebb 1 dB/km, emiatt a rádióösszeköttetések tervezésekor az esőcsillapítás kompenzálására beállított csillapítás

tartalék a köd csillapítást mindig ellensúlyozza.

A víz jéggé és hóvá történő kristályosodásakor a dielektromos állandó $\varepsilon = \varepsilon' - j\varepsilon''$ jelentősen megváltozik. Jégre ε' közelítőleg állandó, értéke 3.17, 0° és -30°C hőmérséklettartományban a centiméteres és milliméteres sávban. A képzetes része kicsi, frekvenciától közelítőleg független, közelítőleg 3.7×10^{-3} , 0°C-on és 5.2×10^{-4} , -30°C-on. A képzetes rész alacsony értéke a száraz jégkristályok alacsony csillapítását mutatja. Mivel azonban a hó és jégeső összetétele a meteorológiai tényezőktől erősen függő összetételű jégkristály és víz, ezért a csillapítás is erősen függeni fog a meteorológiai tényezőktől. Továbbá a hó és jégkristályok alakja is olyan változékony, hogy az egyes alakok által okozott csillapítás meghatározása nagyon nehéz.

A mikrohullámú frekvenciákon a száraz hó csillapítása legalább egy nagyságrenddel kisebb, mint az eső csillapítása azonos csapadék intenzitás esetére. A nedves hó csillapítása ezzel szemben összemérhető az eső csillapításával, a milliméteres hullámsávon azt meg is haladhatja. Egyes mérések szerint száraz hóra is 0.96 mm-en az esőénél nagyobb csillapítást kapunk azonos csapadék intenzitás esetén.

A légkör törésmutatója

Az előző fejezetekben feltételezett egyenes vonalú hullámterjedés csak speciális esetekben valósul meg, így például a műholdak közötti összeköttetéseknél. Minden más rádióösszeköttetésnél az elektromágneses hullámok az atmoszférán haladnak keresztül. A rádióhullámok refrakciója szempontjából az atmoszféra legalsó - a Földfelszínhez legközelebbi rétegének - a troposzférának van szerepe, mert a légköri gázoknak itt még akkora a koncentrációja, hogy a rádióhullámokat jelentősen eltérítsék az egyenes vonaltól.

Az egyenes vonalú terjedéstől való eltérést a troposzféra törésmutatójának változása okozza, amit közvetlenül a légkör molekuláris felépítése okoz.

A törésmutató értéke két fő tényező miatt tér el 1-től:

a légköri gázok molekuláit a beérkező elektromos tér polarizálja

kvantummechanikai molekuláris rezonancia

A második hatás keskeny frekvenciasávban, lényegében csak 22 ill. 60 GHz környékén jelentkezik.

Az első hatás gyakorlatilag frekvenciafüggetlen a milliméteres hullámok tartományáig.

A Föld felszínéhez közel a levegő törésmutatója $n \cong 1.0003$.

A számítások egyszerűsítésére vezessük be a törésmutató indezet, a következő összefüggéssel:

$$n = 1 + 10^{-6} N$$

ahol N a levegő törésmutató indexe, mely lényegében azt fejezi ki, hogy a törésmutató mennyire tér el az 1-től.

$$n - 1 = 10^{-6} N \quad (2.65)$$

Gázok keverékére a törésmutató index általános formában kifejezhető.

$$n - 1 = \sum_i m_i \left(A_i + \frac{B_i}{T} \right)$$

ahol

m_i az i -edik gáz sűrűsége

T az abszolút hőmérséklet [K]

A_i és B_i két konstans az i -edik gázra, melyek közül B_i csak az elektromos dipól momentummal rendelkező gázok molekuláira nem nulla. pl. vízgőzre

A Mariotte törvény értelmében m_i -t helyettesíthetjük e_i / T -vel, ahol e_i a gáz parciális nyomása.

Az előzőek értelmében a levegő törésmutatója általánosan

$$\begin{aligned}
 n - 1 &= m_{O_2} \cdot (A_{O_2}) + m_{N_2} \cdot (A_{N_2}) + m_{H_2O} \cdot \left(A_{H_2O} + \frac{B_{H_2O}}{T} \right) = \\
 &= \frac{e_{O_2}}{T} \cdot A_{O_2} + \frac{e_{H_2}}{T} \cdot A_{H_2} + \frac{e_{H_2O}}{T} \cdot \left(A_{H_2O} + \frac{B_{H_2O}}{T} \right)
 \end{aligned}
 \tag{2.66}$$

A (2) képletben a konstansokat empirikusan meghatározva kapjuk az ITU-R ajánlásban is szereplő képletet a troposzféra törésmutató indexére. N kifejezése a meteorológiai tényezőkkel:

$$N = (1 - n)10^6 = 77.6 \frac{p}{T} + 3.73 \cdot 10^5 \frac{e}{T^2} \tag{2.67}$$

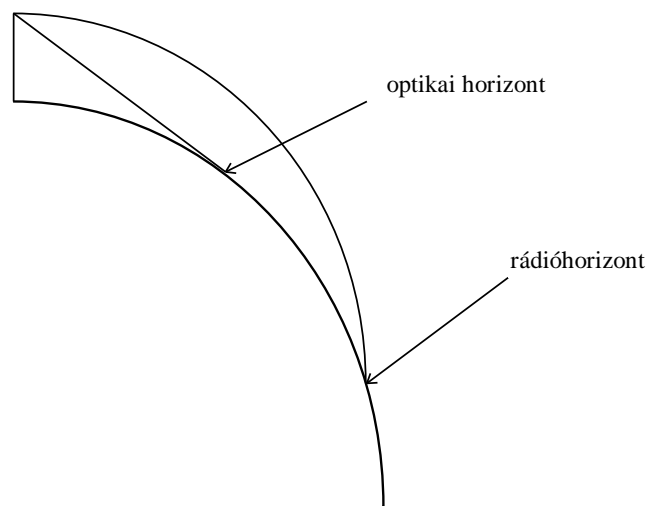
p légnyomás

T hőmérséklet

e a vízgőz parciális nyomása

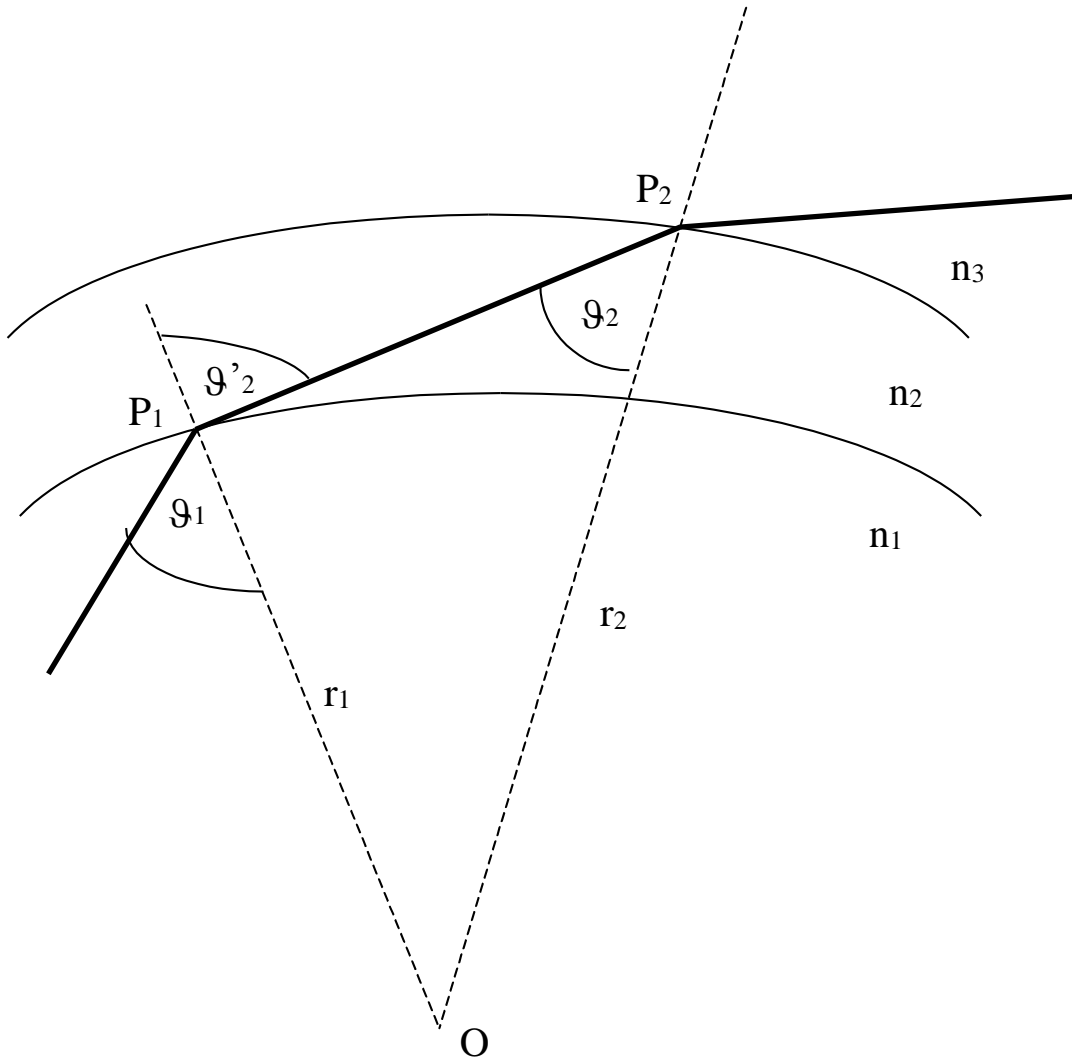
Ezen meteorológiai tényezők a magasság függvényében változnak

Standard atmoszférában n a magassággal csökken, emiatt a rádióhullámok a Föld felé hajlanak el.



2.21. ábra

N értéke a standard atmoszférában közelítőleg 300



2.22. ábra

Az OP_1P_2 háromszögre alkalmazva a szinusztételt, a következő egyenletet írhatjuk fel:

$$\frac{\sin \vartheta_2}{\sin \vartheta_2'} = \frac{r_1}{r_2} \quad (2.68)$$

A Fresnel féle törési törvényt alkalmazva:

$$n_1 \sin \vartheta_1 = n_2 \sin \vartheta_2' \quad (2.69)$$

A (2) képletet az (1)-be helyettesítve

$$n_1 r_1 \sin \vartheta_1 = n_2 r_2 \sin \vartheta_2 \quad (2.70)$$

Az előző - diszkrétizált - esetet a folytonos esetre kiterjesztve kapjuk az alábbi azonosságot

$$n(r) \cdot r \cdot \sin \vartheta = konst. \quad (2.71)$$

A légkörbe történő beesési szög helyett írjuk át az összefüggést elevációs szögekre

$$n(r) \cdot r \cdot \cos \varphi = konst. \quad (2.72)$$

A továbbiakban alkalmazzuk az alábbi közelítéseket

$$n = 1 + N \cdot 10^{-6} \approx 1 \quad (2.73)$$

$$r = R_0 + h$$

ahol

R_0 a Föld sugara

h a hullám aktuális pozíciója a Földfelszín felett

Az előző közelítéseket felhasználva és a (2.72) összefüggésbe helyettesítve

$$\left(1 + N \cdot 10^{-6}\right) \cdot (R_0 + h) \cdot \left(1 - \frac{\varphi^2}{2}\right) = konst$$

A földfelszín feletti összeköttetéseket vizsgálva $h \ll R_0$.

Az elevációs szög ezen összeköttetésekre kicsi, így

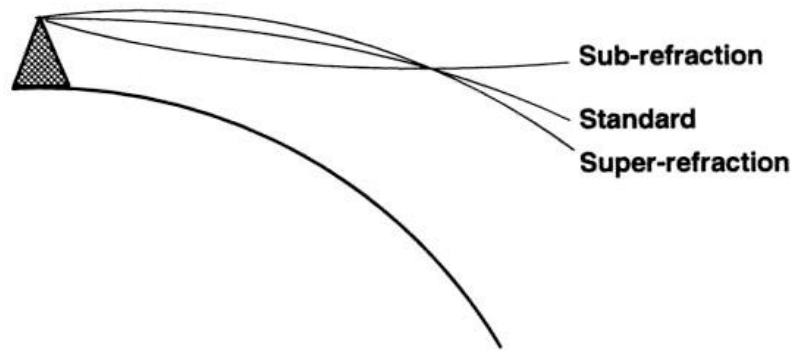
$$N \cdot 10^{-6} + \frac{h}{R_0} - \frac{\varphi^2}{2} = konst.$$

Differenciálva a kifejezést

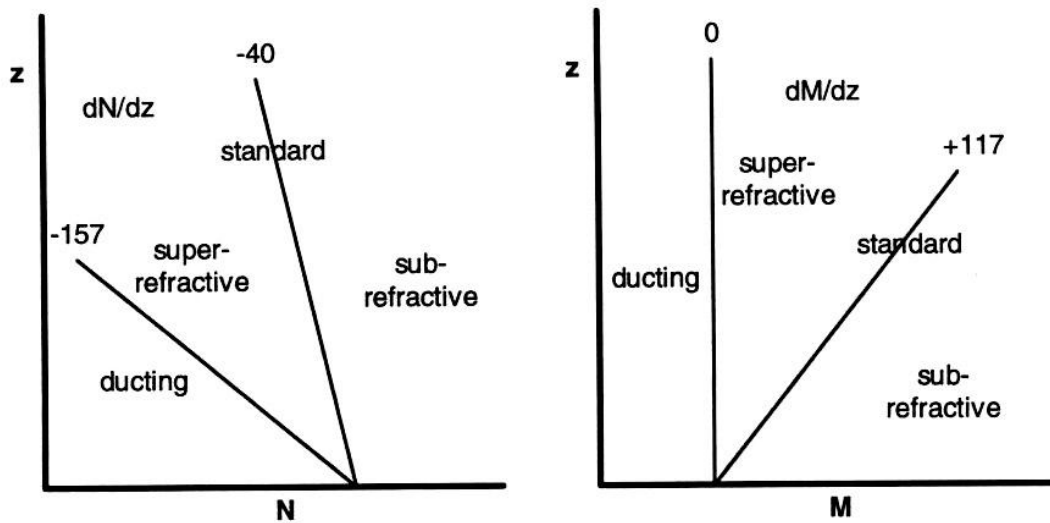
$$\left(\frac{dN}{dh}10^{-6} + \frac{1}{R_0}\right) - \varphi \frac{d\varphi}{dh} = \frac{1}{K \cdot R_0} - \varphi \frac{d\varphi}{dh} = 0 \quad (2.74)$$

Az egyenlet differenciálásával kapott (2.74) egyenletben bevezettük a K Földsugár tényezőt, ami lehetővé teszi a $K \cdot R_0$ módosított Földsugár alkalmazásával a hullámterjedési feladatok egyenes vonalú terjedési feladatokra visszavezetését.

$$K = \frac{1}{1 + R_0 \cdot 10^{-6} \cdot \frac{dN}{dh}}$$



Classification of refractive conditions



2.23. ábra A refrakció osztályozása

Duct:

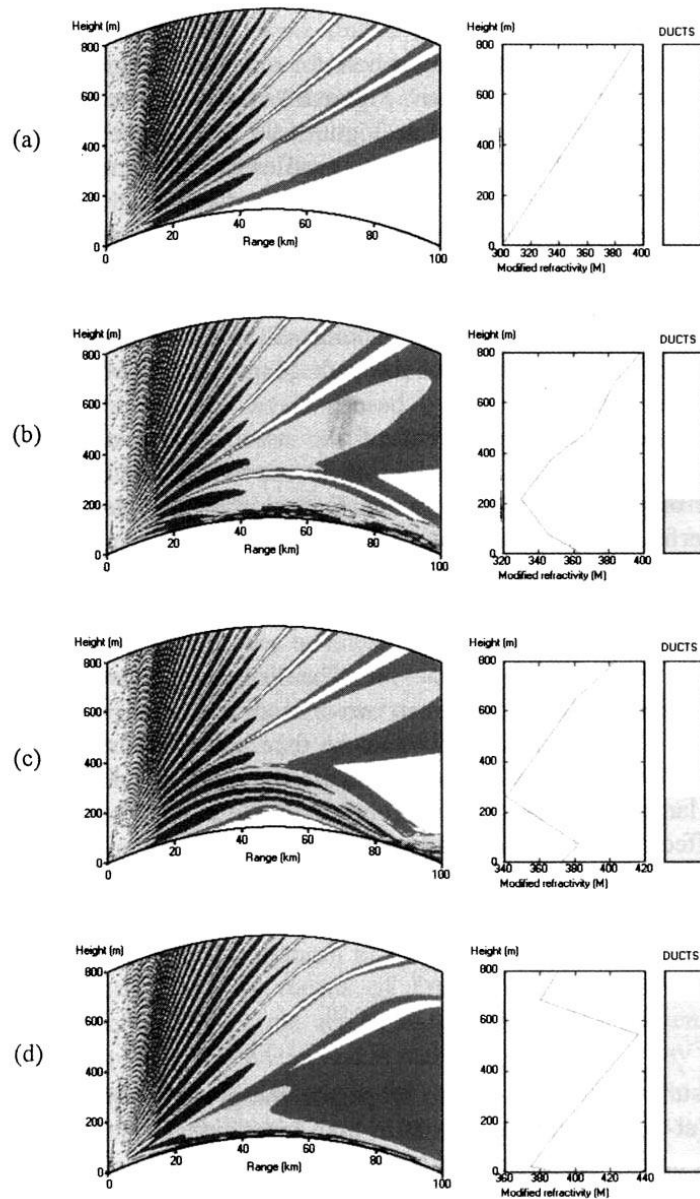


Figure 6.9 Definition of duct types, and their effect on a 3 GHz transmitter at 20m height

The ducts are indicated by the vertical bars

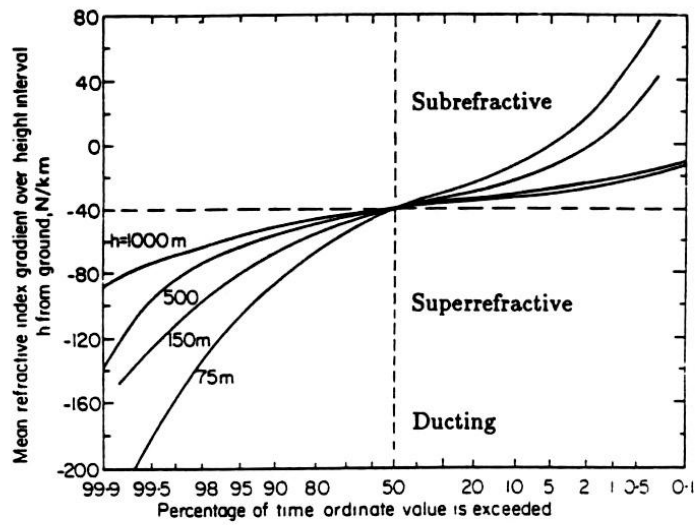
a Standard atmosphere

b Surface layer, surface duct

c Elevated layer, surface duct

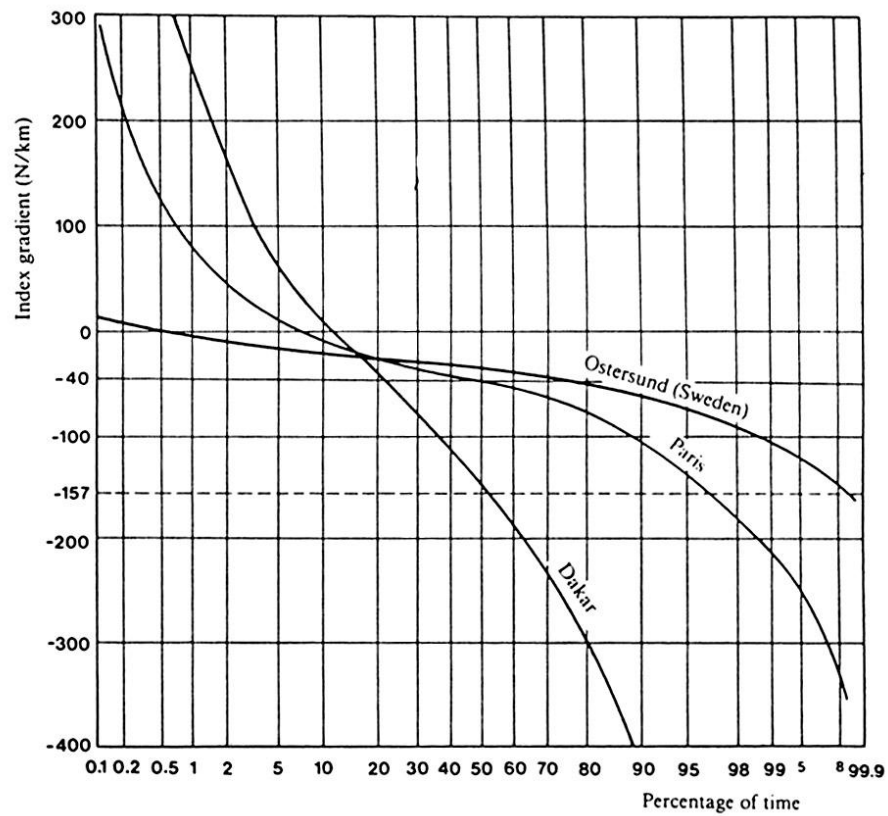
d Elevated layer, elevated duct

2.24. ábra



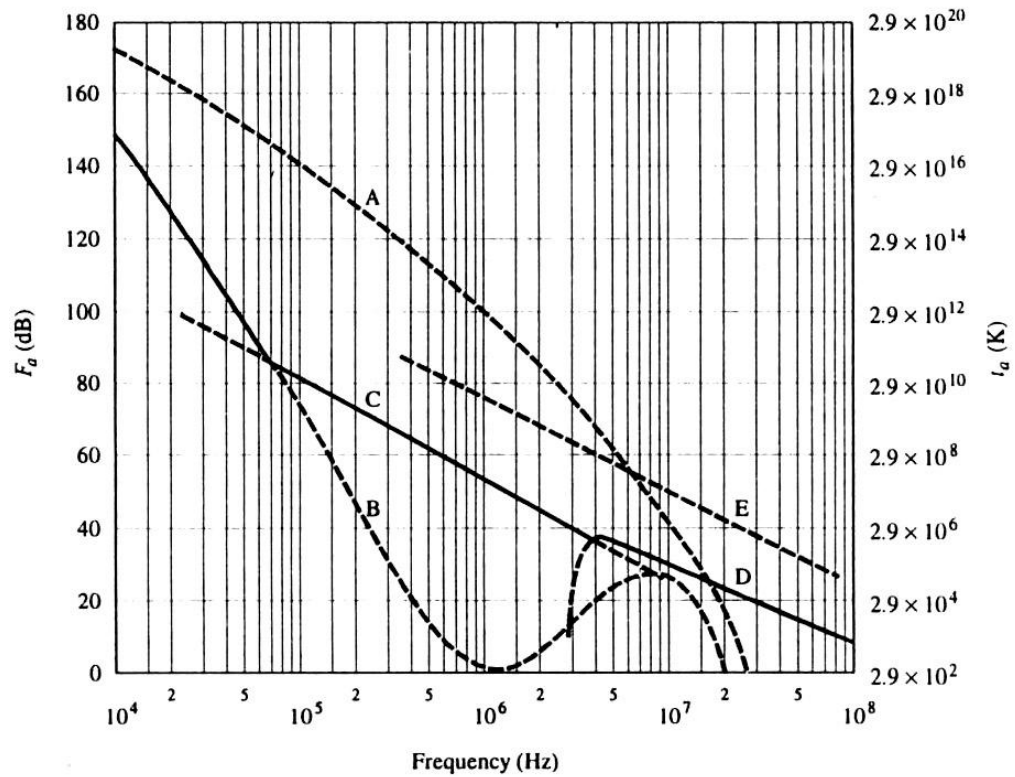
Distribution of mean refractive-index gradient in the UK with height interval above ground level

2.25. ábra A légköri törésmutató index gradiensének időbeli eloszlása



2.26. ábra A légköri törésmutató index gradiensének időbeli eloszlása

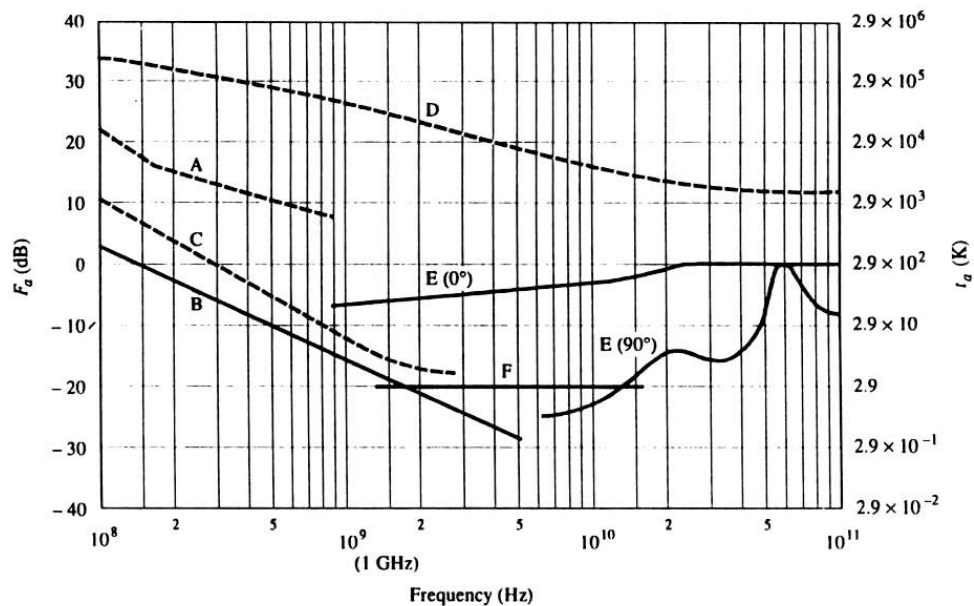
A földi atmoszféra zajjellemzői



Noise figure F_a against frequency: 10 kHz to 100 MHz

- A: atmospheric noise, value exceeded 0.5% of time
- B: atmospheric noise, value exceeded 99.5% of time
- C: man-made noise, quiet receiving site
- D: galactic noise
- E: median business-area man-made noise
- minimum noise level expected

2.27. ábra



Noise figure F_a against frequency: 100 MHz to 100 GHz

- A: estimated median business-area man-made noise
- B: galactic noise
- C: galactic noise (toward galactic centre with infinitely narrow beamwidth)
- D: quiet Sun ($1/2^\circ$ beamwidth directed at Sun)
- E: sky noise due to oxygen and water vapour (very narrow-beam antenna);
upper curve, 0° elevation angle; lower curve, 90° elevation angle
- F: black body (cosmic background), 2.7 K
- minimum noise level expected

2.28. ábra